

# 苏联机器制造的 先进工艺

焊接部分



机械工业出版社

128466

# 苏联机器制造的先进工艺

## 焊接部分

苏联科学院机器学研究所机器制造工艺委员会编

沈 煄 譯



机械工业出版社

1958

## 出版者的話

1954年12月苏联科学院召开了有关机器制造先进工艺的第一届全国生产革新者和科学工作者会议。苏联科学院出版社把在这次会议上发表的论文汇编起来成一本「机器制造的先进工艺」，包括铸造、焊接、压力加工、切削加工等方面的论文数十篇。无疑的，这些理论联系实际的先进经验是我们必须学习的。

这是焊接部分，介绍了焊接接头中出现裂纹的条件、焊接接头的无损检验法、焊接管道接头的新方法、利用焊接延长犁头及拖拉机等农业机器零件的使用期、水力机器制造中使用焊接的经验、薄金属的电容器焊接及其在仪器制造中的应用。

本书的读者对象是以焊接为专业的工人和工程技术人员。

苏联Академия наук СССР, институт машиноведения, комиссия по технологии машиностроения著‘Передовая технология машиностроения’(Издательство академии наук СССР 1955年第一版)

\* \* \*

NO. 2350

1958年12月第一版

1958年12月第一版第一次印刷

787×1092 1/18 字数67千字 印张3 1/9 0,001—5,300册

机械工业出版社(北京阜成门外百万庄)出版

机械工业出版社印刷厂印刷 新华书店发行

北京市書刊出版业营业許可証出字第008号

定价(11) 0.51元

## 目 次

焊接接头中出現裂縫的条件.....	5
关于焊接接头的无損檢驗法.....	15
焊接管道接头的新方法.....	25
利用焊接法延長犁头及拖拉机等农业机器零件的使用期.....	28
水力机器制造中使用焊接的經驗.....	36
薄金屬的电容器焊接及其在仪器制造中的应用.....	42



技术科学博士 尼古拉也夫教授 (Г.А.Николаев)

## 焊接接头中出現裂縫的条件

尽管在發展先进的焊接工艺过程方面已經取得了巨大的成就，可是焊接结构有时仍然要發生破坏。

事故性的徹底破坏畢竟是少有的現象：据所知，实际發生过的：在比利时有三座焊接桥梁崩塌，在美国有 24 艘[自由]型焊接船舶完全斷裂，在苏联曾有几个貯油罐發生破坏的事故。而裂縫形式的焊接接头局部破坏現象則比較容易出現。

焊接结构中之所以出現裂縫与很多因素有关，在低溫条件下承受交变及冲击負載的结构中裂縫比較常見。

在铁路桥梁的桥架上，車輛結構上（特别是在車架上）以及在溫度極低的情况下使用的貯罐上最易發現裂縫。

在沒有任何、甚至極小的缺陷的优質焊縫中很少發生裂縫。

采用合理的結構設計方法以避免应力集中，正确地選擇焊件的基本金属，以及应用可以保証焊縫机械性能高的焊接工艺規程，对消除焊接结构內出現裂縫的可能性起着非常重大的影响。

在科学研究机关和高等学校的实验室以及工业中使用的熔剂層下自动焊接、保护气流中焊接和接触电焊可以得出机械性能很高的焊接接头。

在很多情况下特別是焊接不經過热处理的金属时，焊縫的机械性能在结构承受任何类型的負載时都不比基本金属逊色。

現在研究结构中最易發生裂縫的条件及其形成的原因。

### 进行焊接工作的过程中發生的裂縫

以巴烏曼命名的莫斯科工业学院的焊接实验室所进行的科学研究工作 的結果，确定在焊接接头区域受热及冷却时出現彈塑性（Упругопластический）变形，同时隨之形成所謂固有应力。固有应力是焊接时焊縫及其邻近区由于溫度分布不均而發生的彈塑性变形的后果。

下面叙述的是为了确定在板边上熔焊焊縫时所形成的上述彈塑性变形所用的方

法之一。

在焊縫附近距焊着金屬 2~3 公厘处与焊道平行地裝置一个特殊的应变仪，加以絕緣使其不受电弧热效应的影响。在应变仪旁边放置热电偶高溫計以測量在所研究处的随电弧位置而变化的溫度。

根据研究金屬的热脹系数的原理利用仪器（膨脹計）可以决定符合于所研究的加热情况下的受热变形  $\delta_T$ 。

应变仪能够测量出金屬的总共变形  $\delta$ ，包括受热变形  $\delta_T$  及彈塑性 变形  $\delta_0$  两个組成部分。

因此焊接时的彈塑性变形可以利用計算求出：

$$\delta_0 = \delta - \delta_T.$$

圖 1 中列举了某些牌号的鋼材在邻近焊縫区所量出的彈塑性变形的大小，圖 2 是在焊接过程中焊縫邻近区随溫度而变化的应力数值。

應該指出，奥氏体鋼的彈塑性变形在冷却时期不断增長。焊縫附近的殘留应力在冷却时也不断上升并且达到屈服点。

和奥氏体鋼相似，低碳鋼的彈塑性变形在冷却时一直上升直到溫度相当于奥氏体开始分解时为止，这时金屬的組織分裂。所以拉伸彈塑性变形轉变为压縮彈塑性变形。奥氏体分解完畢后低碳鋼的焊縫邻近区内重新出現拉伸彈塑性变形，并且在以后的冷却过程中不断增長。在完全冷却后低碳鋼的焊縫邻近区内出現达到屈服点的殘留拉伸应力。

在許多低合金鋼中，如 30ХГСА、5ХВС、35СГ 等牌号的鋼，奥氏体的分解在較低的溫度下开始發生。这样就使得彈塑性变形出現的条件有程度相当大的改变。

这种情况下焊縫邻近区在完全冷却后發生的拉伸彈塑性变形比奥氏体鋼及低碳鋼的数值小。某些情况下（当出現馬丁体时）焊縫内还会产生殘留压縮应力。

實驗証明，焊縫及其邻近区在焊接过程中及冷却时所不断产生的数值甚大的彈塑性变形决定于接头的形式，冷却的条件，鋼的物理机械性能，金相組織的轉化等因素。在其他一些不利因素的配合下拉伸彈塑性变形能够引起脆性破坏——在焊接过程中形成裂縫。

我們知道，金屬的机械性能由于溫度的不同而改变甚大：溫度升高时鋼的塑性提高。但是在某些溫度下却發生所謂塑性[下降]。在固相綫溫度范围内發現塑性急剧恶化。

当金屬的晶粒被数量不大的液体層所包围时，它的塑性急剧下降。这时就可能出現脆性破坏，即永远具有結晶間性質的所謂[热裂縫]。

焊縫出現热裂縫决定于冶金的因素，即焊接熔池的性質，以及机械的因素——冷却时所形成的彈塑性变形数值。后者又决定于工艺参数与结构的形式。

根据冶金及机械的因素确定焊縫在抵抗热裂縫方面的数值特性是非常重要的。

在文献中記載有許多方法可以衡量对热裂縫的抵抗力。按照苏联中央机器制造

工艺科学研究院的方法是以裂縫的長度与焊縫总長的比率来衡量焊縫对热裂縫的抵抗能力的；以巴頓（Е.О.Патон）院士命名的电焊研究院所用的方法是以冲击試驗为根据。

莫斯科高等工业学院研究了根据特殊形状試件的靜变形确定焊縫抵抗热裂縫能力的方法和試驗机的結構。根据基本金属及填焊金属、塗料、熔剂等来研究热裂縫的形成。

圖 3 中所示的試件在熔焊焊縫的过程中發生变形。試驗机夹头移动的速度 ( $A$  公厘/分) 能决定在結晶过程中的塑性变形数值和变形速度，所以可以采用作焊縫金属抵抗裂縫能力的指标。变形的速度越高而焊縫又不出現裂縫，则焊縫对产生裂縫的抵抗力也就更好。这样，系数  $A$  就成为在接近固相線溫度时抵抗裂縫能力的可靠指标之一。

圖 4 列举了利用ОММ5、УОНН 13/45 及工业中使用的其他焊条所焊成的焊縫对形成热裂縫的抵抗力大小的一些例子。

應該強調指出，焊縫在固相線溫度时焊着金属的塑性不一定和在可能形成剪变形的溫度条件下的塑性相符。奥氏体钢在一切溫度（包括在  $1000^{\circ}$  以上）时都具有非常好的塑性。但是在固相線溫度范围内所具有的塑性却很低。

对焊縫必須提出各方面的要求。在低温、室温以及發生剪变形的高温下焊縫都应具备很好的塑性，同时在固相線溫度时也应具有令人满意的塑性。否则在使用条件下情况良好的焊接接头也并不能保証其中沒有热裂縫。

焊接时抵抗裂縫出現的能力决定于工艺参数及接头的形式。

为了得出焊縫在抵抗热裂縫方面的数值特性与工艺参数的关系，莫斯科高等工业学院的焊接实验室研究出如下所述的利用标准焊条的特殊方法。

用 МИТП 机器制出标准系列的焊条。在焊条塗料中添加不同数量的填料成分就可以得出具备不同的热裂縫抵抗力的許多焊条。

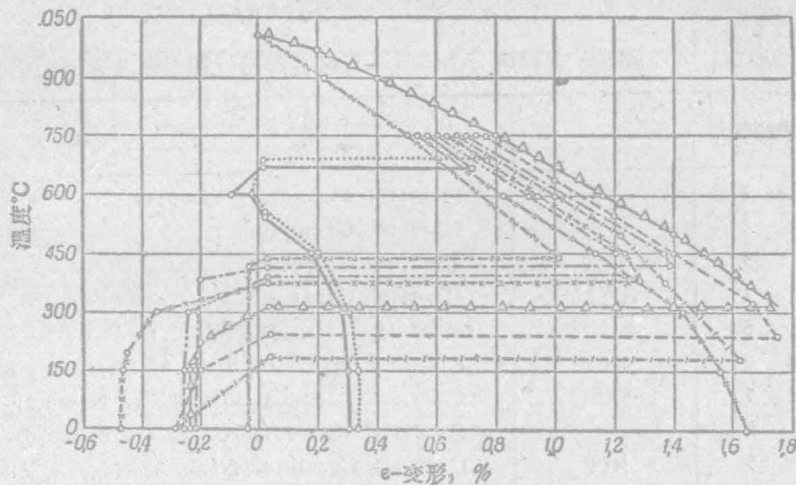


圖 1 不同牌号的鋼制成的試样中焊縫邻近区在焊接时的彈塑性变形:

—	20号鋼	△—△—△	35Cr鋼
··· ··· ···	3号鋼	— — — —	5XBC鋼
— ·— ·— ·—	40X鋼	-   -   -	XB鋼
— .. — .. — ..	ШХ15 鋼	-    -    -	ЭЯ1鋼
— × — × — ×	25ХН4 鋼	— — — —	30ХГСА鋼

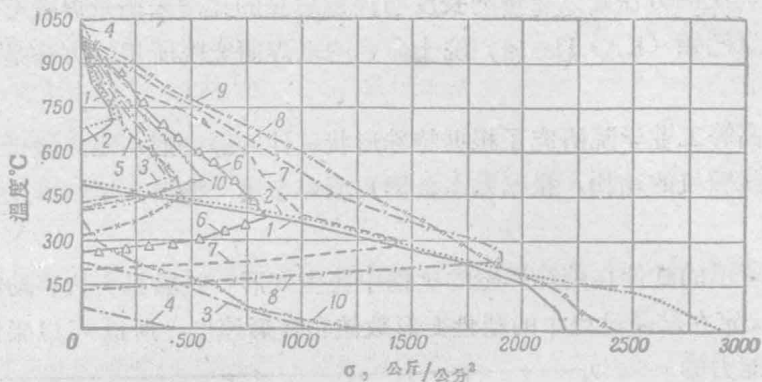


圖 2 各種牌號的焊縫附近在焊接過程中隨溫度而變化的應力：

曲線編號	鋼    號	化    學    成    份
1	20	C=0.15; Mn=0.35; Si=0.17
2	—	C=0.19; Cr=0.49
3	40X	C=0.38; Cr=0.9
4	ШХ15	C=0.95; Cr=1.2
5	25ХН4	C=0.20; Cr=0.85; Ni=4.18
6	35СГ	C=0.36; Mn=0.9; Si=1.0; Ni=0.49; Mo=0.04
7	5ХВС	C=0.52; Mn=0.31; Cr=7.33; Ni=0.3; W=2.14
8	—	C=0.51; Mn=0.13; Cr=7.45; Ni=0.05; W=2.49
9	Я1Т	C=0.13; Cr=16.9; Ni=8.3
10	30ХГСА	C=0.32; Mn=0.78; Si=1.0; Cr=0.93

利用不同的標準系列的焊條焊接所研究的幾種型式的接頭，這時按照規定的工藝規程在規定型式的接頭中根據焊接過程中焊縫發生裂縫的情況定出焊條的序號。由這一序號得出所研究的類型的接頭抵抗裂縫的相對的數值特性。

根據上述利用標準焊條的方法有可能得出焊縫在抵抗熱裂縫方面的數值特性和焊接工藝過程、板邊坡口切割方法、焊縫熔焊程序、焊接時的預熱以及周圍的外界溫度等的關係。

實驗證明，在一定的工藝規範情況下對形成熱裂縫抵抗力最好的是在板邊堆焊的焊縫。在平面上堆焊的焊縫以及對接焊縫也能很好地抵抗熱裂縫的形成。

在具有雙面填角焊縫的丁字及十字接頭中焊縫對熱裂縫的抵抗力較差。低碳鋼的焊接構件在厚度由6~8公厘增加到25~30公厘時，丁字型接頭的熱裂縫抵抗力下降。厚度增加到30公厘以上時對熱裂縫的抵抗力顯然並不減低。板邊為V型坡口及焊接熔池甚大時對熱裂縫的抵抗力比板邊坡口為其他型式時減小。

低碳鋼的制件在焊前預熱到150~200°可以增加對熱裂縫的抵抗力。預熱溫度進一步提高時對熱裂縫的抵抗力又重新開始下降。

利用標準焊條曾研究過幾種焊縫熔焊程序並確定出其中對抵抗熱裂縫最有利的情況。例如，圖5a所表示的焊縫熔焊方法是不合理的。這種情況下在焊接№3焊縫

时很易出現热裂縫。相反地，圖 56 所表示的焊縫熔焊方法是合理的。这种情况下热裂縫的出現比較稀少。

近年来在研究焊接时焊縫中形成热裂縫的过程及寻求防止方法上学者們的著作明确了很多問題。但是还可能誤認為在熔焊焊縫的过程中只有在固相線溫度时才会出現裂縫。有很多鋼，特別是低合金結構鋼，在焊接中裂縫出現在冷却过程中的不同溫度情况下。这种裂縫可以有条件地称为热裂縫。通常，它們在焊縫中出現时是在相当于奥氏体分解的溫度下。

在文献中曾反复發表过这种观点，認為出現热裂縫的原因是完全溶解在奥氏体中的游离氢析出的結果。莫斯科高等工业学院的焊接實驗室曾进行过專門的實驗，証实奥氏体中氢的饱和以及奥氏体分解时氢的析出无疑地是促成热裂縫出現的因素之一，但并非唯一的因素。

显然，伴随着奥氏体的分解而出現的金相組織轉变，在焊縫及其邻近区引起初級及次級固有应力，使金属轉变到立体受力状态。这会使塑性减低因而开始有可能出現脆性破坏——裂縫。

关于時間对焊接接头彈塑性变形數值的影响曾作出重要的結論。莫斯科高等工业学院焊接實驗室所进行的試驗研究使我們能够明确低碳鋼及奥氏体鋼的接头并不隨时间过程而改变本身的尺寸。

由低合金鋼如 30ХГСА 及 23Х2НВФА 制成的接头，相反地在熔焊焊縫后要改变本身的尺寸，这在焊接后經過第一晝夜最为明显。在以后的期間焊接接头的彈塑性

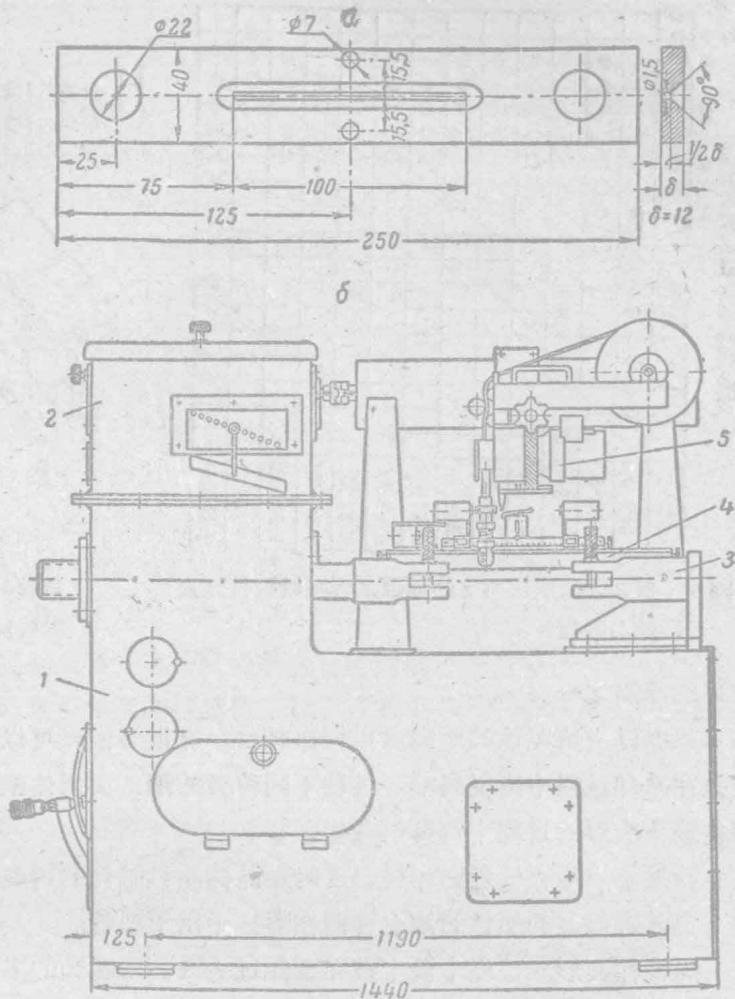


圖 3

a—用以確定焊縫的焊着金属抵抗热裂縫能力的試驗片，δ—用以確定焊縫的焊着金属抵抗热裂縫能力的試驗机：1—拉力机构；2—焊接机头移动机构；3—后夹头；4—导向調整机构；5—焊接机头。

状态稳定下来同时焊件繼續保持其几何形状。

随时间过程而形成的彈塑性变形，显然并不和应力消除或时效現象有关。經過証实，彈塑性变形数值的改变是由于在焊件完全冷却后的相当長的时间过程中所完成的奥氏体分解所致。

如实验所證明，随同奥氏体的分解固有殘留应力分布区域同时改变。个别金属纖維層中应力的增加及其轉变到脆性状态，显然也是焊接工作剛一結束后接头立即

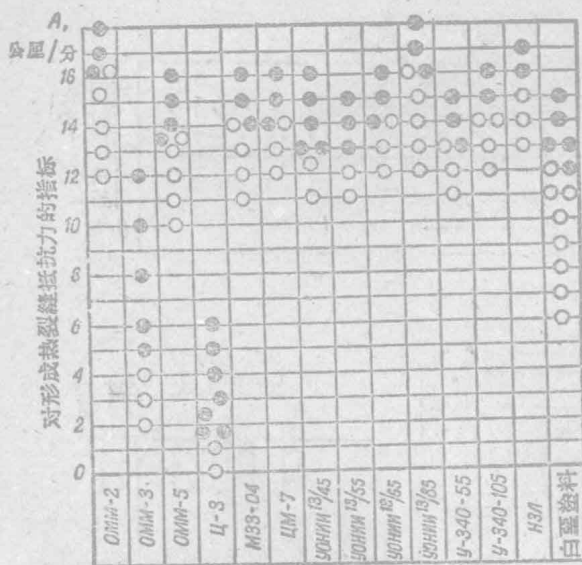


圖 4 根據焊條成份確定的低碳鋼焊接時抵抗熱裂縫能力的指標。

破坏的原因之一。

根据以上研究过的原理可以得出結論，有很多因素可以使焊縫在熔焊过程中及接头在冷却过程中出現裂縫。各种不同种类的鋼：奥氏体鋼、低碳鋼、低合金結構鋼在接头成形的过程中都可能發生破裂。

如果不消除在接近固相綫溫度時結晶間脆性破壞的可能性，則即使在室溫及高溫下都具有很好的塑性的鋼也可能在焊接中出現裂縫。

焊縫在其形成过程中發生破壞要比过去人們所認為的多得多。在使用过程中所發現的裂縫往往是在固相綫溫度所形成的裂縫。

关于在焊接过程中所發生的裂縫对结构以后工作的影响問題不能認為已經解决。关于目前对这个問題所进行的研究下面还要談到。消除在焊接过程中出現裂縫的可能性是焊接結構以后使用时工作令人滿意的重要条件。

### 焊接結構在使用过程中發生的裂縫

多年来的經驗証明，焊接結構不仅在熔焊焊縫的过程中出現裂縫，而且也在承受負載的使用情况下發生裂縫。

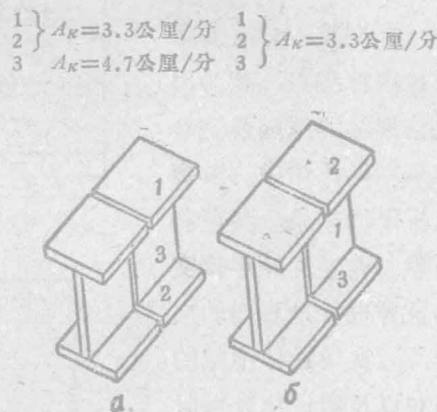


圖 5 工字型焊制梁的对接接头  
焊接时焊縫熔焊程序和热裂縫抵抗力的关系。

焊接接头在使用情况下形成裂縫的条件决定于三个基本参数：结构在交变疲劳負載下受力时焊接接头的应力集中，焊接结构在特殊受力条件下的固有应力的影响以及焊縫中存在缺陷。

作者过去的著作中曾确定出各种不同类型的焊接接头的应力集中系数数值。曾經明确，应力集中最小的是电弧和接触焊接的对接接头。具有侧面焊縫的接头以及由端面及侧面焊縫組成的混合填角焊縫接头內，应力集中非常大。

承受交变負載时疲劳强度最高的是对接接头；其余各种具有填角焊縫的接头疲劳强度極小，这也是已經明确了的。

焊縫的几何形状及焊接工艺过程的質量对接头的疲劳强度大小有很大的影响。

最近四五年来以巴頓院士命名的电焊研究所、中央鐵路設計及建造科学研究院以及其他机构曾进行了多次关于焊接接头强度的研究，証实了這項原則，即焊接結構的設計正确和焊縫的工艺加工合理是提高疲劳强度的決定性因素。

在这方面建議采用均匀变化的几何尺寸(不容許将板料突然截断及使用盖板，应用圓角改变尺寸)，均匀改变构件厚度，广泛地利用对接接头，尽可能避免在垂直于构件受力綫的方向使用填角焊縫，等等。

同时建議在所用的填角焊縫中高与底边的比应为  $1:2$  及  $1:3$ ，填角焊縫的末端要加工以便焊着金属与基本金属的接合匀順，尽量以自动焊接法代替手工焊接。

圖 6 中列举了在承受交变負載时焊接接头中出現裂縫的例子。在未經热处理过的鋼的接头中，裂縫出現在基本金属上、对接焊縫上及端面焊縫的危險截面上、侧面焊縫上及侧面焊縫之間、以及应力集中最大的区域等。热处理过的鋼在大多情况下焊接接头因承受交变負載而發生的破坏都是在焊縫的焊着金属部分或回火区，因为这个区域内金属的屈服点和疲劳强度数值比沒有受到电弧热效应的基本金属部分的低。

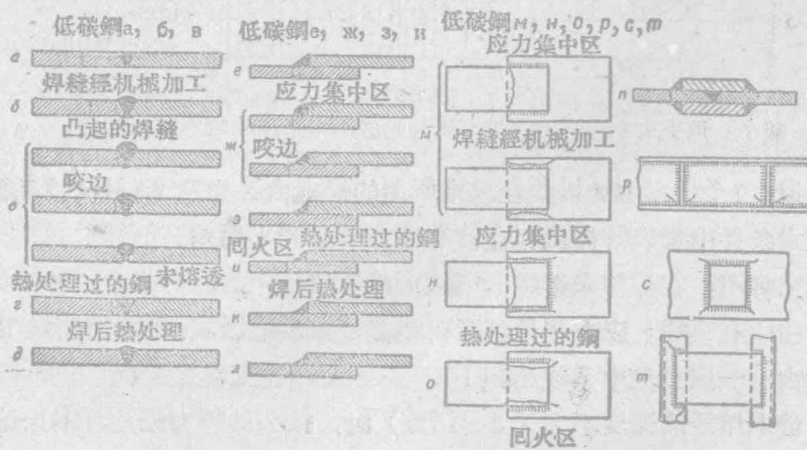


圖 6 承受交变負載时焊接接头的标准破坏情况圖。

在鐵路桥梁的焊接桥架中經常發生焊接接头在交变負載的作用下出現裂縫的現象。經調查証明，大多数情况中裂縫的出現是由于存在基本强度計算所未曾考慮到

的極大的应力集中。

近年来中央交通科学研究院 (ЦНИС) 的論文大大明确了焊接接头的疲劳破坏問題，指出了过去所采用的焊接桥梁构件强度計算法應該改用以最近几年所进行的广泛試驗为基础的新計算法。

焊接桥梁结构强度的新計算方法考慮到在焊接接头之外和在焊縫区域内的基本金属随区域性質不同而变化的耐久强度。新的强度計算方法考慮到结构的实际受力情況（随時間过程而逐渐增長的使用負載等）。

上述关于焊接结构在使用过程中出現裂縫的理由都是指的焊接中毫无缺陷的焊縫。

莫斯科高等工业学院的焊接实验室曾經进行关于焊接接头質量对其承受負載的影响的專題研究。将生产中極常見的單面坡口对接焊縫的熔透程度作为研究的标准。

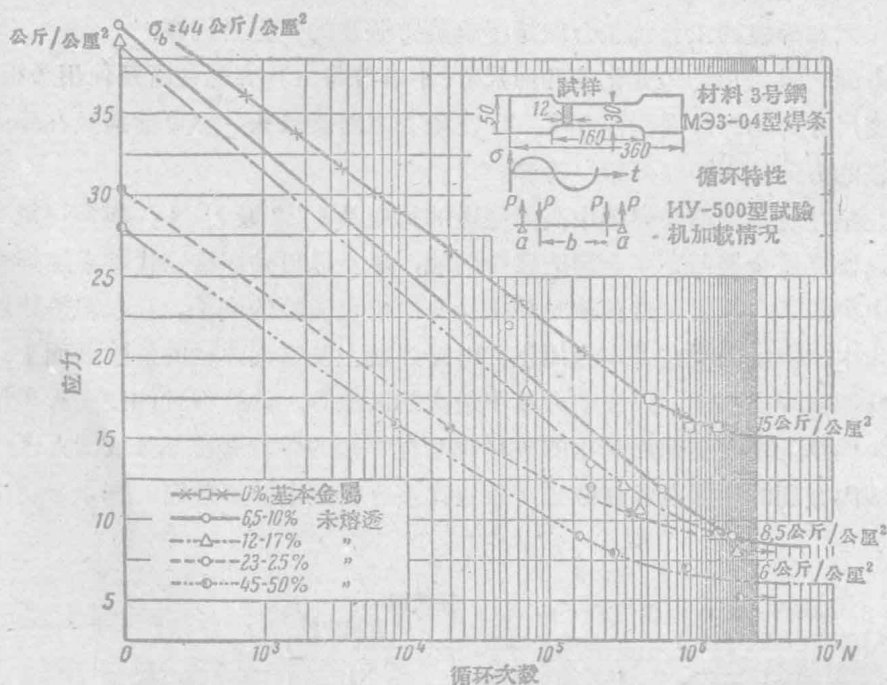


圖 7 承受交变負載时对接焊縫的强度与未熔透的程度間的关系。

大家知道，各个技术主管机构在决定所用的焊縫由 X 光及  $\gamma$ -射線按三級与二級評等时在技术条件中都容許焊縫存在沒有完全熔透的小偏差。

实验研究証明，在焊縫未熔透的区域形成数值極大的应力集中。对接焊縫未熔透处的末端往往有裂縫。应力測量証明，裂縫及未熔透区域在彈性变形范围內的应力集中非常大——应力集中系数达到 10。

对接焊縫未熔透的深度不大（5~10%）时，接头的靜力强度并不比熔透情况良好的試样減低。在裂縫及未熔透区域接头的塑性显著降低，这点曾經利用刻压凹痕的方法試驗試样予以肯定。

由相对应变  $\Sigma_{ex}$  及  $\Sigma_{ey}$  之和决定的焊接接头未熔透区域的工作能力，經証明比

熔透良好的低碳鋼接头要降低 $6 \sim 8 \sim 10$ 倍。这点說明即使未熔透的相对深度不大，焊接接头的脆性破坏倾向也要提高。

对接焊縫未熔透的現象对降低疲劳强度的影响非常大，例如，当所連接的板厚的25%未熔透时，低碳鋼焊接接头的疲劳强度比完全熔透的接头几乎減低一半。

試驗証明，当存在15%、10%甚至6%的未熔透时，疲劳强度的降低几乎和25%未熔透时一样(圖7)。进行过的實驗証实了甚至尺寸極小的未熔透也具有显著降低疲劳强度的極大危害性。未熔透超过25%时疲劳强度的減低差不多和工作截面的減少成正比例。

簡而言之，應該指出形成脆性破坏——焊縫裂开——的主要原因之一是由于設計不合理以及焊接生产工作中工艺过程的缺陷，特別是后者，在焊接結構中所引起的应力集中所致。

莫斯科高等工业学院的研究著作和以巴頓命名的电焊研究所、中央鐵路科学研究院、中央机器制造工艺科学研究院的研究者的很多論著以及許多外国的著作早就証明了，焊接結構中由于焊接过程所引起的殘留应力达到極大的数值，在大多数情况下接近基本金属的屈服点，有时还要超过。

焊接结构中的殘留应力差不多总是多向性的，即作用于空間的各个不同方向。但是殘留应力的一个分力往往比其他两个大得多。所以焊接结构及接头的殘留应力經常按單向考慮。

極大多数情况下焊接接头都具有很高的塑性而且并不次于基本金属的塑性。

焊接过程所引起的固有应力具有特殊的性質——相互平衡，因而固有殘留应力的存在不会使焊接接头的强度恶化。

試驗証明，在基本金属及焊縫的塑性良好时固有应力并不影响焊接接头承受負載的强度。在这种条件下受靜負載时固有应力对焊接接头的强度根本沒有任何影响；受疲劳負載时固有应力对强度有不大的影响。在某些情况下它是有害的，而在另一些情况下，相反地，反而有利。

当接头的塑性低时，这种情况下焊接接头的使用条件就大大改变了。

焊接接头的塑性降低原因可以有好几种。某些情况下接头的塑性降低是由于焊接生产工作的工艺过程不能令人滿意，基本金属的塑性低，焊絲、焊条塗料、熔剂的成份不良等。接头的塑性降低也可能是由于存在殘留立体应力，在焊接构件的厚度大，特別是供給的能量小的情况下有时会發生这种立体应力。某些不合理的焊接结构形式中分布于空間各个方向的焊縫在相交之处会产生立体应力。

在許多情况下殘留立体应力的出現能降低焊接接头的塑性，促进形成裂縫的条件。

在設計焊接结构及編制工艺規程时應該采取措施来消除可能出現的立体殘留应力。

如果存在应力集中的現象焊接接头中可能發生由外力而引起的立体应力。在未

熔透、裂縫、夾渣等缺陷附近區域最可能出現殘留應力。這種情況下焊接接頭处在脆性狀態，而殘留應力和外在應力的相互作用開始危害到強度。

周圍溫度的降低是促使焊接接頭的塑性降低和由塑性狀態變為脆性狀態的因素。由於低溫的作用处在脆性狀態的接頭中殘留應力的存在和集中是危險的，因為它們很容易引起出現裂縫。

\* \* \*

根據以上所述可以得出結論，初級固有殘留應力在大多數情況下對焊接結構的強度並沒有有害的影響——這個結論是非常重要的，它証實了各種焊件中極大多數都沒有必要進行高溫回火同時在存在數值很大的殘留應力的情況下仍有可能使用。

高溫回火在大多數情況下根本不能改善焊件的性能，反而提高生產工作的成本。在某些情況下回火工序是完全行不通的，例如對於大型的在安裝中進行焊接的工作。

目前高溫回火只用于特殊的情況；體積巨大的結構在沒有消除殘留應力的情況下工作完全令人滿意。在個別情況下焊接引起的殘留固有應力可能對強度有不良的影響。這是指在極低的溫度下使用的結構（在嚴寒條件下工作的結構），以及焊接厚度很大的焊件，特別是焊件由碳素鋼及合金鋼製成時。

近代的焊接生產工作的工藝過程（熔劑層下自動焊接，優質焊條手工焊接，氬弧焊接，接觸焊接等）使我們有可能得到機械性能很高的焊接接頭。

焊接不必熱處理的鋼時經常可以得到在高溫及低溫條件下承受靜止、衝擊及交變負載時強度都相當於基本金屬的接頭。

因此，焊接工藝已經達到相當完善的地步，容許焊接很多類型的鋼並能保證接頭和基本金屬等強度。

焊接接頭最危險的缺陷是其中出現裂縫，在個別情況下裂縫的發生是由於某一種主要原因，而在許多情況下是若干因素同時作用的結果。

裂縫可以在熔焊焊縫的過程中出現——即熾熱裂縫及熱裂縫。消除這些裂縫的措施是改善焊縫的冶金性能，以及工藝參數；某些情況下改進焊件的設計形狀可以達到消除熾熱裂縫的目的。

有時焊接結構在疲勞負載的作用下出現裂縫。防止這類裂縫最好的方法是消除結構形式不合理所引起的應力集中，以及外在的和隱蔽的工藝缺陷。

即使不存在疲勞負載，在個別情況下由於下列綜合的原因也會出現裂縫，即：存在應力集中，以致使接頭有條件轉變到脆性狀態；以及應力集中和殘留應力的結合，以致在有缺陷和脆性狀態的情況下危害到強度。

利用自動焊接，合理地編制工藝規程，正確地設計以及改善焊縫的冶金性能是防止出現裂縫及焊接結構發生破壞的最可靠的保證。

技术科学硕士 纳扎洛夫 (C. T. Назаров)

## 关于焊接接头的无损检验法

在拟定任何焊件的焊接工艺时通常同时要进行大量的各种试验和研究工作。主要的几种试验是：确定焊接接头的机械强度，焊缝组织的金相分析及其他研究，以便选择能保证焊接结构工作能力的合理工艺。

但是即使制定得最细致的焊接工艺也不能保证焊缝中没有偶然出现的缺陷，特别是用手工焊接完成的焊缝。同样自动焊接时由于自动电焊机机动部分或电路的失常，焊缝也不能完全杜绝缺陷。焊缝中偶然的缺陷能降低结构的强度，而在某些情况下会引起事故。所以揭露已制成的焊件中的焊接缺陷即使在最细致完整的工艺中也是必要的。

为了检验已制成焊件中的焊接接头常用煤油、压缩空气、氮与空气混合气的试验法和X光及γ-射线、磁力及超音波检验法。

利用煤油、压缩空气及其他类似的方法检验焊接接头的密合性，是在生产中广泛运用作为最后验收试验或与其他方法配合的补充检验。根据这类检验方式制定的方法和设备一般是适用于生产的。

至于在焊件中使用范围比密合性检验法更广的其他几种无损检验法，在使用时就要遇到方法方面的困难。

近年来在工业上广泛使用X光及γ-射线来检验焊缝并且开始利用超音波方法。

X光及γ-射线在实际检验中的运用已经达到这种程度，以致目前关于验收焊缝的很多现行指示都不得不规定用这类检验法。

在战后的年代电业部的工厂出产了200千伏的РУП-1及РУП-2型透视金属的新型X光机，可以透视钢材厚度达60公厘的焊缝；同时又制出400千伏的X光设备，可以透视厚度达100公厘的钢材。400千伏的新型X光机可以在几分钟短短的曝光时间内进行一般钢焊缝厚度（25~50公厘）的透视。

某些生产部门已经利用γ-射线代替X光进行焊缝的透视。

由于利用这种方法透视焊缝，放射性同位素钴目前已经获得广泛的运用。除了钴还可以使用别的放射γ-射线的同位素，如铯、镅等。

金属检验工作者已经能够选用具有足够的放射能的同位素，能满足在揭露检验物的缺陷方面所要求的最大灵敏度。

电业工业部(МЭП)工厂出产了几种型式的利用钴的γ-射线透视金属设备：ГУП-1型具备0.5居里的钴，ГУП-5及ГУП-50型分别具备5及50居里的钴。利用这类设备可以检验厚度达200~250公厘的焊缝。

X光及γ-射线可以揭露焊缝中的裂纹。未焊透、夹渣及气孔等类型的宏观缺陷。

图1中所示的曲线是在不同的放射能量下X光及γ-射线照片对发现金属中最小缺陷的灵敏度。照片的灵敏度决定于一系列因素，其中主要的是放射强度——放射的量子能量的大小。根据许多其他作者所得的关于X光及γ-射线照片的灵敏度实验资料以及作者本人的实验，作者认为可以利用以下的经验公式确定X光及任何已知同位素的γ-射线透视法的灵敏度：

$$\Delta d_{\min} = \frac{0.005(2+\delta)}{\mu},$$

式中  $\mu = e^{-\frac{\mu^{0.8}}{1.35}}$  ——根据放射能量决定的吸收系数；其中  $\mu$  ——放射能量；

0.005及2 ——与被透视材料密度有关的系数。此时使用X及XX胶片照相，焦距为400~500公厘；

$\delta$  ——透视金属的厚度，公厘；

$\Delta d_{\min}$  ——能发现的最小缺陷，公厘。

上述公式的物理意义在于灵敏度百分比( $\Delta d$ )决定于一些不变的系数——与材料厚度有关的物理因素，及在上式中根据放射能量决定的衰减系数。

图1中虚线是按上述经验公式计算出来的计算曲线，实线是根据实验数据的曲线。显然图中计算的及实验的曲线间分歧不大。

应用X光及γ-射线的焊接检验员利用图表及公式就能选择最适当的放射能量，以使照片有显示焊缝缺陷的最大灵敏度。

根据所示的图表同样可以估计利用放射性同位素铯及铯的γ-射线照片的灵敏度；例如电压300千伏的X光透视灵敏度曲线和铯的γ-射线照片的灵敏度是相符的。

铯的灵敏度曲线位于钴的下层曲线和最强的X光曲线之间，与这些同位素的γ-射线特性相应。

当焊缝的缺陷，例如气孔及夹渣，位于朝向放射线光源的一面时，除了要降低照片的灵敏度以外投影到照片平面上的缺陷尺寸也要被歪曲：反映到照片上的缺陷的尺寸会加大。这种情况下应该采取从焊缝的两面拍摄的方法。在焊缝的厚度大难以判断缺陷的埋深时可以采用射线束移向与焊缝纵轴线斜交的双重拍摄法及立体拍摄法。

在厚度大的焊缝中γ-射线所能发现的裂纹尺寸仅在拍摄法的灵敏度范围以内，且其方向需与拍摄时射线方向一致。例如，焊缝中的横向裂纹，如果它的位置在与